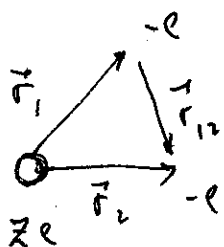


~~Yukarıda görülen atomik sistemdeki iki konsantrasyonun etkisi~~

~~Yukarıda görülen atomik sistemdeki iki konsantrasyonun etkisi~~

Bir merkezi Ze yükünün etrafında hareket eden, $-e$ yükleri, m_e hizelli iki klasik spiniz parçacığının etkisi



$$E = \frac{1}{2m_e} (\vec{p}_1^2 + \vec{p}_2^2) - \frac{Ze^2}{r_1} - \frac{Ze^2}{r_2} + \frac{e^2}{r_{12}}$$

Bu zıst. ile atomumun klasik enerjisi.

$$p_{\alpha i} \rightarrow p_{\alpha i} : \quad \vec{r}_{\alpha} = (\vec{x}_{\alpha})^{1/n} \rightarrow Q_{\alpha} = (\vec{Q}_{\alpha})^{1/n}$$

$$x_{\alpha i} \rightarrow Q_{\alpha i} : \quad r_{12} = ((\vec{x}_1 - \vec{x}_2))^{1/n} \rightarrow Q_{12} = ((\vec{Q}_1 - \vec{Q}_2))^{1/n}$$

$$H = \frac{1}{2m_e} (\vec{p}_1^2 + \vec{p}_2^2) - \frac{Ze^2}{Q_1} - \frac{Ze^2}{Q_2} + \frac{e^2}{Q_{12}} + H_1$$

electron spin enerjisi

$$H_0 = \frac{1}{m_e} (h_1 \otimes I + I \otimes h_2) + W = H_{00} + W$$

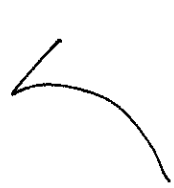
$$H_{00} = \frac{1}{m_e} (h_1 \otimes I + I \otimes h_2)$$

$$h_{\alpha} = \frac{\vec{p}_{\alpha}^2}{2} - \frac{d_2}{Q_{\alpha}} \quad d_2 = m_e e^2 Z / \hbar \quad \hbar = 1$$

$$W = \frac{e^2}{Q_{12}} = e^2 \left(\sum_{i=1}^3 (Q_{1i} \otimes I - I \otimes Q_{2i}) \right)^{-1/2}$$

Hop.'üne diğer tüm op.'ler

$$\mathfrak{H} = \mathfrak{H}_1 \otimes \mathfrak{H}_2$$



\mathfrak{H}

$$|P_1 P_2\rangle_{\mp}$$

uzayında etkiler.

Simetrik ve antisimetrik vektörler

$$|P_1 P_2\rangle_{\mp} = \frac{1}{\sqrt{2}} (|P_1 P_2\rangle + |P_2 P_1\rangle)$$

$$|P_1 P_2\rangle_{-} = \frac{1}{\sqrt{2}} (|P_1 P_2\rangle - |P_2 P_1\rangle)$$

Tespit edilmiş P_1 ve P_2 kuantum sayıları ($P_1 \neq P_2$) için $|P_1 P_2\rangle$, $|P_2 P_1\rangle$ ya da $|P_1 P_2\rangle_{\pm}$, $|P_2 P_1\rangle_{\pm}$ ile genilen 2 boyutlu bir uzayımız vardır. Eğer P_1 ve P_2 , $P_1 = P_2$ tespit edilmiş ise $|P_1 P_2\rangle = |P_1 P_2\rangle_{\pm}$ ile genilen 1 boyutlu bir uzayımız vardır. P_1 ve P_2 'nin bağımsız olarak ($n l j_1 j_2$) mümkün değerler kümesinin $\{n=1, 2, \dots; j=0, 1, \dots, n-1; j_3 = -j, \dots +j; l=j \pm 1/2\}$ herhangi birini alıñan durumda bu uzay $|P_1 P_2\rangle$ ile genilebilir.

$$\mathfrak{H}_{-}^2 \text{ uzayının bütün } |P_1 P_2\rangle_{-} \text{ vektörleri tarafından}$$

$$\mathfrak{H}_{+}^2 \text{ " " " } |P_1 P_2\rangle_{\pm} \text{ " " " } \text{genilir.}$$

Sonuç olarak

$$\mathfrak{H} = \mathfrak{H}_{-}^2 \oplus \mathfrak{H}_{+}^2$$

1.7.

Tanı çapında uzay simetrik ve antisimetrik alt uzayları direkt toplamıdır.

postüla IV b ve Pauli ilkesine göre 1.7.'in sadece π_{-}^{α} uzağı
iki elektronlu sist. için fiziksel denemeler uzayıdır. (iki boson
sist.'i alsa da bu π_{+}^{α} olurdu) π_{-}^{α} yi kuantum mevzadaki
görenerelerin共振örün özelliklerini bulmalıydı söyleyle istediler.
Her ikisi π_{α} ($\pi_{\alpha}: \alpha=1, 2$)

$$(\pi_{\alpha} = \pi_{\alpha}^{\alpha} \otimes \tau^5)$$

olarak yazılabilir. Simdi 2 elektronun yörüngeSEL ve spin uzayları
ren aynı anda sıralayalım:

$$\textcircled{O} \quad \pi^{orb^2} = \pi_1^{orb} \otimes \pi_2^{orb} \quad \textcircled{X} \quad \tau^5^2 = \tau_1^5 \otimes \tau_2^5 = 5$$

bu ikisinin simetrik ve antisimetrik uzaylarını yukarıda yöntemle
bulduk.

$$\begin{cases} \pi_{\alpha} \Rightarrow \\ \Rightarrow \end{cases} \quad \begin{cases} \pi_{\alpha}^{\alpha} = (\pi_{\alpha} \pi_{\alpha} \pi_{\alpha}) & ; \pi^{orb^2} \text{ alındıktan} \\ \tau_{\alpha}^5 = \pi_{\alpha}^{\alpha} & ; \tau^5^2 = 1 . \end{cases}$$

$$\textcircled{O} \quad \begin{cases} \pi^{orb^2} = \pi_{+}^{orb^2} \oplus \pi_{-}^{orb^2} \\ \tau^5^2 = \tau_{+}^5 \oplus \tau_{-}^5 \end{cases}$$

Toplam 6 uzayı;

$$\begin{aligned} h = \pi^{orb^2} \otimes \tau^5^2 &= (\pi_{+}^{orb^2} \otimes \tau_{+}^5) \oplus (\pi_{+}^{orb^2} \otimes \tau_{-}^5) \\ &\oplus (\pi_{-}^{orb^2} \otimes \tau_{+}^5) \oplus (\pi_{-}^{orb^2} \otimes \tau_{-}^5) \end{aligned}$$

simetrik alt uzay

$$\mathcal{H}_+^2 = (\pi_+^{0+} \otimes \tau_+^+) \oplus (\pi_-^{0+} \otimes \tau_-^+)$$

antisimetrik alt uzay

$$\mathcal{H}_-^2 = (\pi_+^{0-} \otimes \tau_-^-) \oplus (\pi_-^{0-} \otimes \tau_+^-)$$

\hookrightarrow

böylece \mathcal{H}_-^2 finitesel dumanların sağları iki uzaya ayrılmıştır: Birinci simetrik yine de antisimetrik spin dumanları sağ, ikinci antisimetrik yine de simetrik spin dumanları sağdır.

Similitik π_{ij} i ihmal ederse, $\left(\begin{array}{c} \pi_+^{0+} \\ \pi_-^{0+} \end{array} \right) = \left(\begin{array}{c} \tau_+^+ \\ \tau_-^+ \end{array} \right)$; 2 tanesi 2 boyutlu uzayın direkt çarpımı'dır ve 4 boyutludır.

$$\pi_+^{0+} = \pi_1^+ \otimes \pi_2^+ \quad \text{ve} \quad \pi_-^{0+} = \pi_1^- \otimes \pi_2^-$$

bu mu direkt çarpımları $|S_{13}\rangle_1 \otimes |S_{23}\rangle_2$

O $(S_{13} = \pm \frac{1}{2}, \quad S_{23} = \pm \frac{1}{2})$

4'üncü tektoni de verelim: Bu doğrudan 4'üncü simetrik ve antisimetrik bileşenleri söyle söyle söyle söyle:

$$|\frac{1}{2}\rangle_1 \otimes |\frac{1}{2}\rangle_2, \quad |-\frac{1}{2}\rangle_1 \otimes |-\frac{1}{2}\rangle_2, \quad \frac{1}{\sqrt{2}}(|\frac{1}{2}\rangle_1 \otimes |-\frac{1}{2}\rangle_2 + |-\frac{1}{2}\rangle_1 \otimes |\frac{1}{2}\rangle_2)$$

\hookrightarrow simetrik slanlar

antisimetrik slanlar

4 $\frac{1}{\sqrt{2}} (|\frac{1}{2}\rangle_1 \otimes |-\frac{1}{2}\rangle_2 - |-\frac{1}{2}\rangle_1 \otimes |\frac{1}{2}\rangle_2)$

1.12

1.18.)

är dör vektor \vec{r}^s av de två basvektorn.

$$\begin{array}{ccc} \text{symmetrisk slalor} & \xrightarrow{\quad} & \langle \vec{r}_+^s \rangle \text{ urayn } (3 \text{ boyut}) \\ \text{antisymmetrisk} & \xrightarrow{\quad} & \langle \vec{r}_-^s \rangle \text{ " gereler. (tek boyut)} \end{array}$$

$$\vec{r}^s = \mathbb{1}^{s_1=1/2} \otimes \mathbb{1}^{s_2=1/2} \rightarrow \text{ri elementer rotatör silemli urayn.}$$

$$\text{top. spin op. } S_i : S_i = S_{1i} \otimes I + I \otimes S_{2i} \quad i=1, 2, 3.$$

$$(V. 2.32) \rightarrow \vec{r}^s = \mathbb{1}^{s=1} \oplus \mathbb{1}^{s=0}$$

Toplam spin: $s=1$ veya 0 'nın. ve \vec{r}^s är $|SS_3\rangle$ basium,

$$S^2 |SS_3\rangle = s(s+1) |SS_3\rangle \quad \left. \right\} \quad s=0, s_3=0$$

$$S_3 |SS_3\rangle = s_3 |SS_3\rangle \quad \left. \right\} \quad s=1, s_3=-1, 0, +1$$

$$[S_i, P_{12}] = 0 \quad \text{cinsit},$$

$$P_{12} S_i = P_{12} (S_{1i} \otimes I + I \otimes S_{2i})$$

$$= (I \otimes S_{2i} + S_{1i} \otimes I) P_{12} = S_i P_{12}$$

1.22.

$\gamma_+^{S^2}$ ve $\gamma_-^{S^2}$) → alt uzayları $+1$ ve -1 örtülerine karşılık gelen P_{12} 'nın örtüyandır.

1.22. nedeni ile Si, $\gamma_+^{S^2}$ ve $\gamma_-^{S^2}$ 'yi değiştirmeleri.
Si $\alpha^{S=1}$ ve $\alpha^{S=0}$ de değiştirmeleri.

$\alpha^{S=1} \rightarrow 3$ boyutlu ($\gamma_+^{S^2}$ de 3 boyutlu)

O $\alpha^{S=0} \rightarrow 1 \quad 4 \quad (\gamma_-^{S^2} \quad " \quad 1 \quad 11)$

Sonuç:

$$\alpha^{S=1} = \gamma_+^{S^2}, \quad \alpha^{S=0} = \gamma_-^{S^2}$$

$$\alpha_-^2 = (\alpha_+^{os} \otimes \alpha^{S=0}) \oplus (\alpha_-^{os} \otimes \alpha^{S=1})$$

L, S etkileşimi ihmal edili.

O

X1.2. İne'in Kesikli Enerji Düzeyleri

$$\begin{cases} L_{\alpha i} = \epsilon_{ijk} Q_{\alpha j} P_{\alpha k} \\ A_{\alpha i} = (-2\hbar\omega)^{-1/2} \left(\frac{1}{2} \epsilon_{ikl} \{ P_{\alpha l}, L_{\alpha k} \} + \frac{q_z Q_{\alpha i}}{Q_\alpha} \right) \end{cases}$$



Törünge aksial mom. 'u ve Lenz vektörünün

$$n_{\alpha}^{orb} = \sum_{n=1}^{\infty} R_{\alpha}(n)$$

ile verilen $E(SO(4))$ cebrinin bir indisirermez temsili varır.

Direkt çarpım uygulamak,

$$n_{\alpha}^{orb} = n_1^{orb} \otimes n_2^{orb}$$

Bu vektörlerin cebrinin bir temsili

$$L_i = L_{1i} \otimes I + I \otimes L_{2i}$$

$$[L_{\alpha i}, L_{\beta j}] = i \epsilon_{ijk} L_k$$

$$A_i = A_{1i} \otimes I + I \otimes A_{2i}$$

$$S_{dp}$$

ile verilir. Bu lar $L_{\alpha i}$ ve $A_{\alpha i}$ 'ler ile aynı komütasyon bağıntılarını sağlar:

$$[L_i, L_j] = i \epsilon_{ijk} L_k$$

$$[L_i, A_j] = i \epsilon_{ijk} A_k, [A_i, A_j] = i \epsilon_{ijk} L_k$$

Tanımlı:

$$\rightarrow C_1 = C_{11} \otimes I + I \otimes C_{21}$$

$$C_{\alpha 1} = \vec{A}_{\alpha} + \vec{L}_{\alpha} = a_z^2 (-2 h_{\alpha})^{-1} I, a_2 = 2 m e^2 / \hbar$$

$$C_2 = A_i L_i$$

C_1 ve C_2 'ler A_i ve L_i 'ler ile sınırlı değiştinirler.
Ancak bunlar $C_{\alpha 1}$ ve $C_{\alpha 2}$ ile aynı signifikan yapılmaz.

$\left\{ \begin{array}{l} C_1, \text{ } \neq 0 \text{ ile yasitilişmeli degildir.} \\ C_2 \neq 0 \text{ 'dir.} \end{array} \right.$

$$C_2 = A_i L_i = (A_{1i} \otimes I + I \otimes A_{2i}) (L_{1i} \otimes I + I \otimes L_{2i})$$

$$= A_{1i} L_{1i} \otimes I + I \otimes L_{2i} A_{2i}$$

$$+ A_{1i} \otimes L_{2i} + L_{1i} \otimes A_{2i}$$

$$= A_{1i} \otimes L_{2i} + L_{1i} \otimes A_{2i} \rightarrow \text{genelde "0", deplidir.}$$

Sein etniyi ihmali carcazinde,

$$H_0 = H_{00} + W$$

III
 etniyi ihmali Thi
 electron ke rge
 rgi yahlasilek deplidir.

$$H_{00} = \frac{1}{me} (h_1 \otimes I + I \otimes h_2) \quad \underline{\text{id}}.$$

$$\mathcal{H}_{00} = -\frac{\alpha_e^2}{2me} \left(\frac{1}{C_{11} + I} \otimes I + I \otimes \frac{1}{C_{22} + I} \right) \quad h_x = -\frac{\alpha_e^2}{2(C_{22} + I)}$$

Bunun spektrumu rahatlıkla buluyor.

$$\mathcal{N}_s^{orb} = \mathcal{N}_1^{orb} \otimes \mathcal{N}_2^{orb} \text{ uzayında}$$

$$|n\ell\ell_3\rangle_1 \otimes |n'\ell'\ell'_3\rangle_2$$

bazını alalım. $\frac{\mathcal{H}_{00}}{\sqrt{2}} |n\rangle$

$$\mathcal{N}_s^{orb} = \mathcal{N}_+^{orb} \oplus \mathcal{N}_-^{orb}$$

değiş spektrumunu bulmak istiyorsak. Simetrik ve antisimetrik vertöplerin sıralı sırt. 'ini

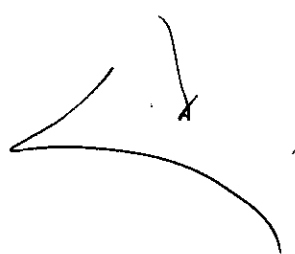
$$\frac{1}{\sqrt{2}} (|n\ell\ell_3\rangle_1 \otimes |n'\ell'\ell'_3\rangle_2 \pm |n'\ell'\ell'_3\rangle_1 \otimes |n\ell\ell_3\rangle_2) \underline{2.15 \pm}$$

alalım.

$$\begin{array}{c} + \\ \nearrow \\ \mathcal{N}_+^{orb} \\ \searrow \\ - \end{array}$$

sıralı sırt. 'lerini verdi.

(2.15 ±) \mathcal{H}_{00} 'in öznitelikleri olup



\mathcal{N}_-^{orb} 'de birlikte sıra tam sıralı sırt. 'i oluştuur.

$$\mathcal{H}_{00} \frac{1}{\sqrt{2}} (|n\ell\ell_3\rangle_1 \otimes |n'\ell'\ell'_3\rangle_2 \pm |n'\ell'\ell'_3\rangle_1 \otimes |n\ell\ell_3\rangle_2) = \mathcal{E}_{nn'}^{orb}$$

$$\text{speslt} \left(\frac{\mathcal{H}_{00}}{me} \right) = \mathcal{E}_{nn'}^{orb} = -\alpha_{de}'' \left(\frac{1}{n^2} + \frac{1}{n'^2} \right) \quad qR''$$

$$R_{He}'' = \frac{a_{z=2}^2}{2m_p} = 4 \cdot \frac{me^4}{2t^2} = 4 R'' = 54.4 \text{ ev}$$

\star $2.15 \pm$ 'lar L_1^2 , L_2 ve H_0 'ların öznitelikleri değişirler. Eğer fiziksel durumlar, H_0 'nın öznitelerini iseler H_0 'nin çok yakın özniteleridir. H_0 'nın özniteleri L_1^2 ve L_2 'in özniteleri olasılıkla ne L ve L' açısal mom.'larıının (2.14) direkt çarpım durumları ne de bu direkt çarpım durumlarının özel sırlıneer silgesini ($2.15 \pm$) olasılıkları.

\circ $(2.15 \pm)$ özniteleri $L_1^2 + L_2^2$ 'nın özniteleri'ne göre $[L_1^2 + L_2^2, Q_{11}^2] \neq 0$ 'dır. sonuc olarak $(2.15 \pm)$ H_0 ile sıradışılaşmayen bir op.'ün öznitelikleri'ndir].

Bu nedenle, toplam yörüngeel açısal mom.'ın öznitelikleri: ekle etmek için $(2.15 \pm)$ da L ve L' açısal mom.'ları birleştilmeli'dir, ancak H_0 'nın özniteleri'dir; H_0 özniteleri o zaman toplam halen yörüngeel açısal mom.'ın açısal açısıne göre lineaer bileşimi olarak olmalıdır.

Model Sist. iki yüklü sırlıneerdeki Coulomb alanında hareket eden 2 etkileşmeyen elektron'ların da \exists bir model sist. i ile helium atomu yollasılık yapanın yerine, iki yüklü sırlıneerdeki \exists sırlı elektron olusturduğu esittir sonda haledeki ekin tek sırlı elektron.

$$H_0 = \frac{1}{m_p} h_1 + h_2^{el} = \frac{1}{m_p} h_2 + h_1^{el}$$

* Bu yahasın sırlı elek. açısıda yahı sırlı birinden farklılık varsa gerçekleşti. $h_x = \frac{P_x}{2} - \frac{q_z}{Q_x}$

$$\tilde{H}_d^{el} = \frac{1}{me} h_{\alpha} + \frac{e^2}{Q_{12}}$$

\tilde{H}_{α}^{orb} icerisindeki op. degisimler. Ancaq

$$Q_{12} \rightarrow Q_{\alpha}$$

1. yahesim:

degisimini yaparsak olur. Klasik olarak bu su nemechtir; celihradeye yakin elektron gerecte celihradegin konumudur. Bu degisim ile celihradeten col uzaktaki elektronin enerji op.'i

$$T. \quad \tilde{H}_{\alpha}^{el} = \frac{\tilde{P}_{\alpha}}{2me} + \left(-\frac{2\tilde{e}}{Q_{\alpha}} + \frac{\tilde{e}}{Q_{12}} \right) \approx \frac{\tilde{P}_{\alpha}}{2me} - \frac{\tilde{e}}{Q_{\alpha}} \quad (2.21)$$

$$= \frac{1}{me} \tilde{H}_{\alpha} \text{Hyd.}$$

asimtotik bicimini alır, yani uzak elektronin enerji op.'i H -atomundaki elektronun enerji op.'i ile ayindir.

(2.21) yahesiminda elektronun enerji op.'i \tilde{H}_0

$$\tilde{H}_0 \rightarrow \tilde{H}_0 = \frac{1}{me} h_1 + \frac{1}{me} \tilde{H}_{2^{n' \text{Hyd}}} = \frac{1}{me} h_2 + \tilde{H}_{1^{n' \text{Hyd}}}$$

ile yahesitir; burada $\tilde{H}_{1^{n' \text{Hyd}}}$, H -atomundaki kuantum yeridir. $n' \geq n$ olmasi

$$\begin{aligned} \text{Spectrum } \tilde{H}_0 &= \tilde{E}_{nn'} = -R''_{pe} \frac{1}{n^2} - R'' \frac{1}{n'^2} \\ &= -R'' \left(\frac{4}{n^2} + \frac{1}{n'^2} \right) \geq E_{nn'}^{**} = -R'' \left(\frac{4}{n^2} - \frac{1}{n'^2} \right) \end{aligned}$$

2. bir yaklaşım:

(2.18) biçimindeki H_α için daha gerçekçi bir yaklaşım

$$\text{H}_\alpha^{\text{el}} \rightarrow \text{H}_{\alpha(\text{Zeff})}^{\text{el}} = \frac{\vec{p}}{2mp} - \frac{\sum_{\text{eff}}^{(\lambda)} e}{Q_\alpha}$$

değisimini yapmaktadır. Burada $\sum_{\text{eff}}^{(1)} \leq \text{Zeff} \leq 2$ ve çekirdek alanının yakin elektron tarafından perdelemesini verir. H_α için olağanlık yahastır,

$$\text{H}_\alpha \rightarrow \text{H}_{\alpha(\text{Zeff})} = \text{H}_1^{\text{el}} + \text{H}_2^{\text{el}}$$

Zeff^{el} $\text{He}-\text{atomumun}$ farklı döşemeleri için farklıdır.

Taban döşüm için $\text{Zeff}^{(1)} = \text{Zeff}^{(2)} = \text{benzer}$.

Bir elektronun taban döşüm, döşemin en yatkın döşüm için

$$\text{Zeff}^{(1)} \approx 2 \quad \text{ve} \quad \text{Zeff}^{(2)} \approx 1 \quad \text{beklenir.}$$

O Böylece forker alt uzaylarla false $\text{H}_\alpha(\text{Zeff})$ verir.

He -atomumun döşemelerinin alt uzayları inceleyelim
 He atomundan bir electron ayrılırken, yani sist. He^+ iyon
 ve O relativ enerjili bir electron olur. Bu döşemeler
 alt uzaya N_{He} denilen; Bu alt uzaya H_α söyle
 yahastırılır.

$$\text{H}_\alpha = \frac{1}{mp} h_1 + \text{H}_2^{\text{el}} = \frac{1}{mp} h_1 + \text{H}_1^{\text{el}}$$

2.26.

$\text{H}_\alpha^{\text{el}} \rightarrow (2.21)$ ne yahastırır. O zaman H_{He} alt

$$H_{\infty}^{el} = 0$$

2.27

olduğunu n_{∞}^{orb} 'nın alt uzağı olarak tanımlanır. n_{∞}^{orb} deki H_{∞}^{el} 'nın özniteliklerini

$$\{nll_3\}_{\infty}$$

ile gösterelim. Bu öznitelikler,

$$H_{\infty}^{el} \{nll_3\}_{\infty} = -R'' \frac{1}{n^2} \{nll_3\}_1$$

O) Sağlar ve \bar{L}_{∞}^2 ve $L_{\infty 3}$ 'ün öznamlarıdır. 2.27.'nin sağlandığı öznitelikler,

$$\{\omega ll_3\}_{\infty}$$

ile gösterilir. \mathcal{H}_{∞} 'da direkt çarpım bazi,

$$\{\omega ll'_3\}_1 \otimes \{nll_3\}_2, \{nll_3\}_1 \otimes \{\omega ll'_3\}_2$$

O) ile verilir. \mathcal{H}_{∞} 'da, simetrik ve anti simetrik vektörler, bazi;

$$\frac{1}{\sqrt{2}} \left((\omega ll'_3\}_1 \otimes \{nll_3\}_2 \pm \{nll_3\}_1 \otimes \{\omega ll'_3\}_2 \right)$$
(2.32)

\mathcal{H}_{∞} 'de 2.26 enerji op. li su spektrumu satiptir:

$$\boxed{E_{nll} = \text{Spectr} H_{\infty} \Big|_{\mathcal{H}_{\infty}} = -\frac{4me^4}{2\pi^2} \frac{1}{n^2} = -\mathcal{H}_{\infty}'' \frac{1}{n^2}}$$

2.33

(2.32+) 'ya uygulanmış (2.26) 'in \hat{H}_0 'i, su sonucu next.

$$\frac{1}{\sqrt{2}} \left(|a\ell'\ell'\rangle_1 \otimes \frac{\hbar^2}{m_e} |nll\rangle_2 + n_1^{el} |a\cancel{\ell'\ell'}\rangle_1 \otimes |nll\rangle_2 \right)$$

$$\pm \frac{\hbar_1}{m_e} |nll\rangle_1 \otimes |\omega\ell'\ell'\rangle_2 \mp |nll\rangle_1 \otimes n_2^{el} |\omega\cancel{\ell'\ell'}\rangle_2$$

$$O = -\frac{a_2^2}{2m_e n} \frac{1}{\sqrt{2}} \left(|a\ell'\ell'\rangle_1 \otimes |nll\rangle_2 \mp |nll\rangle_1 \otimes |\omega\ell'\ell'\rangle_2 \right)$$

E_{ho} : n. ıyonlaşma esigi

(2.33) sonucunu (2.16) ile verilen \hat{H}_{ho} 'in spektrumu ile karşılaştırırsak

$$O \quad \begin{array}{l} \text{aşağıdan } n' \rightarrow \infty \text{ için } \tilde{E}_{nn'} \rightarrow E_{ho} \\ " " " \quad \tilde{E}_{nn'} \rightarrow E_{ho} \end{array}$$

Tıpkı incelememiz

$$\tilde{E}_{nn'}^{\infty} \leq E_{nn'} \leq \tilde{E}_{nn'} < E_{ho}$$

Olağan görünür. \hat{H}_0 'un enerji alıp放过, true E_{ho} ($n=1, 2, \dots$) düzegenini oluştur. $E_{nn'}$ 'ler E_{ho} 'n altına gelirken n' arttıkça sıklıkla yedi sayıda.

n' 'nın değerleri büyükükçe, H_0 'in özdeğerleri ile atomun enerji değerlerine daha yakındır. Sonuç olarak, büyük n ve verilen bir n için ($2.15 \pm$) ile verilen uzak fiziksel dumanların uzama eğisi bir yatkınlığı temsil eder. Kısık olarak bu durum 2.elektronun 1. den çok olduğu ve sinyallerin yükseliği tartışmaya devam eder. n' azalsın E_{12}^{∞} artar sonuçta ile atomun enerjisinde $E_{n,n'}^{\infty}$ dan büyük sigma belirler. En çok sigma $n=n'=1$ de olsun. E_{11}^{∞} , H_0 a kötü bir yatkınlık olsun. Bu dumanla $n=n'=1$ ile ($2.15 \pm$) ile verilen uzak fiziksel duman uzak olmaktan uzaktır. Böylece n ve n' in üçüncü değerleri ile He-atomu ile bağımlı elektronları işaret etmek olmaz. Fiziksel dumanlar bir elektronun bir özel dumanı olgusunu gösterir. Bir özel dumanla olduğu dumanlar olmaz; Daha çok He-atomu fiziksel dumanları bir türde gösterir olmalıdır.

Sınavda h_1 dediğimiz He atomının $E_{1\infty}^{\infty}$ 'den düşük enerji değerlerine sahip olan dumanlar uzayda da olabilir. Bu duman: bir elektron ($n'=1, l'=0, m_l=0$), dengeli He-atomunda tam ayrılmaktır. Bu h_1 alt uzayda H_0 'n özetörleri, ($2.15 \pm$) bağımlı pozitif dumanlar da olur emindiğini:

$$\psi_{nll_3}^{\circ} = \frac{1}{\sqrt{2}} \left(|n'=1, l'=0, l'_3=0\rangle_1 \otimes |nll_3\rangle_2 + |nll_3\rangle_1 \otimes |n'=1, l'=0, l'_3=0\rangle_2 \right)$$

$$\chi_{nll_3}^{\circ} = \frac{1}{\sqrt{2}} \left(|n'=1, l'=0, l'_3=0\rangle_1 \otimes nll_3\rangle_2 - |nll_3\rangle_1 \otimes |n'=1, l'=0, l'_3=0\rangle_2 \right)$$

h_1 'n simetrik duman uzayın h_{1+}

Bu ifisi $\lim_{n \rightarrow \infty}$ örneğeli θ_0 'ın öznumaları

$$\theta_0 \cdot f_{\text{nei},l} = - R''_{\text{ne}} \left(1 + \frac{1}{n}\right) f_{\text{nei},l} \quad (2.39)$$

$$\theta_0 \gamma_{\text{nei},l} = - R''_{\text{ne}} \left(1 + \frac{1}{n}\right) \gamma_{\text{nei},l} \quad (2.40)$$

$\ell' = 0$ ve $\ell'_3 = 0$ iken $f_{\text{nei},l}$ ve $\gamma_{\text{nei},l}$ 'da $\tilde{\Gamma}$ ve L_3' 'i

O öznumalarını bul.

$$\begin{aligned} \tilde{\Gamma}^2 f_{\text{nei},l} &= \tilde{\Gamma}^2 l(l+1) f_{\text{nei},l} \quad \left\{ \begin{array}{l} \gamma_{\text{nei},l} \text{ için de} \\ \text{ayrı.} \end{array} \right. \\ L_3 f_{\text{nei},l} &= \tilde{\Gamma} l_3 f_{\text{nei},l} \end{aligned}$$

$\tilde{\Gamma}_{1+}$ ve $\tilde{\Gamma}_2$ adlı θ_0 , $\tilde{\Gamma}$ ve L_3 'lerin öznumalarını $f_{\text{nei},l}$ ve $\gamma_{\text{nei},l}$ ile gösterelim. Bu da θ_0 'ın $f_{\text{nei},l}$ ve $\gamma_{\text{nei},l}$ öznumalarında bir diğer op. yorumu ile eşleştirebilir. Bu op. etkiオリジナル $\tilde{\Gamma}$ ve L_3 ve $R_{1,2}$ 'nin öznumalarını neyi ifade eder.

$$f_{\text{nei},l} = U^+(nl) f_{\text{nei},l} \quad 2.41$$

$$\gamma_{\text{nei},l} = U^-(nl) \gamma_{\text{nei},l} \quad 2.42$$

$n \in \mathbb{N}$ 'in tabii değerleri ise tabii $U^{\pm}(nl)$ ' ler.

$[H_0, L_i] = 0$ Olduğundan, $\psi^{\pm}(nl)$ l_j 'e bağlı değildir. (2.41-42) Sunu gösterir: H_0 'nın özneltörleri hala asal kuantum sayıları n ile karakterize edilir, ancak ψ_{nl} l_{n+1} ile ilişkilidir.

$$\hat{E}_{nl}^{\infty} = -R_{nl} \left(1 + \frac{1}{n^2} \right)$$

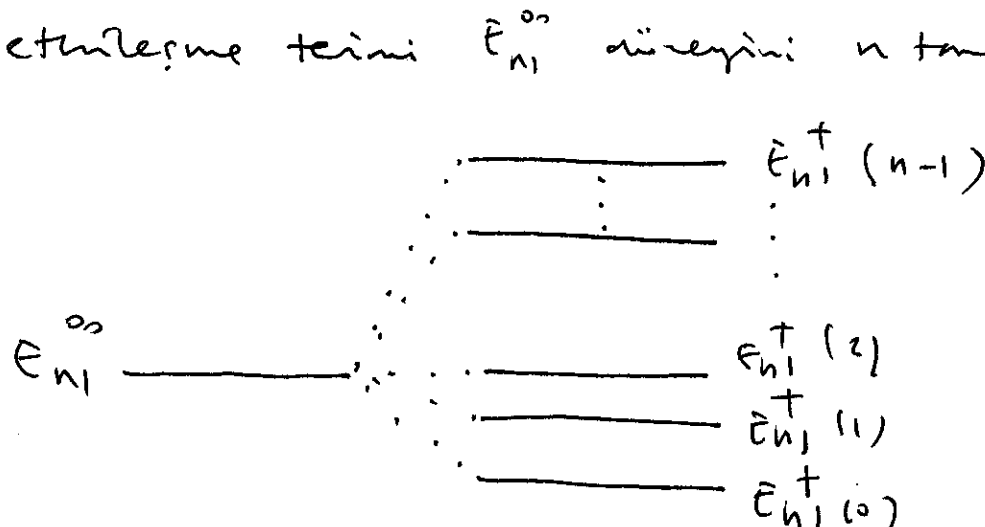
Enerjili özneltörlerinden olursa farklıdır.

~~n 'nin böyle değerleri için $\psi^{\pm}(nl)$ bireyin op.'e bağlıdır. h_+ da H_0 'nın özdeğerlerini $E_{n+1}^+(l)$ ve $E_{n+1}^-(l)$ ile gösteriniz; genelde ψ_{nl} l' ye bağlıdır:~~

$$H_0 \psi_{nl} = E_{n+1}^+(l) \psi_{n+1},$$

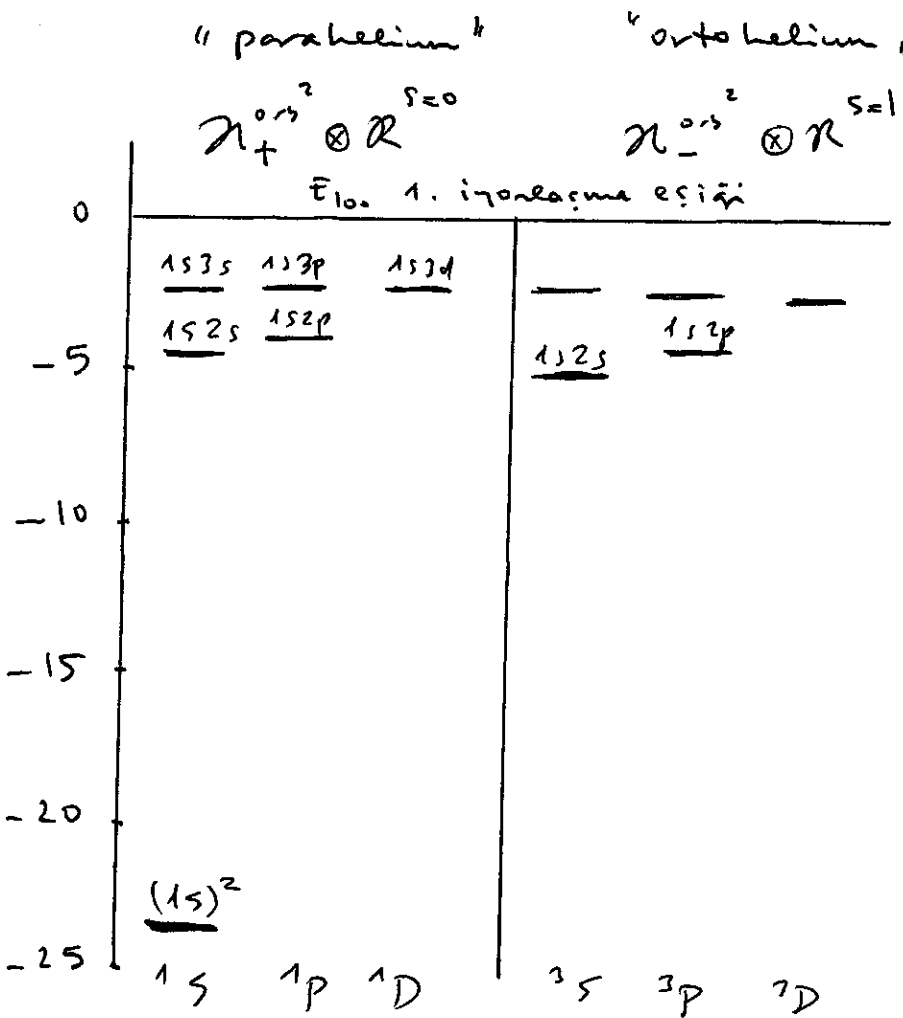
$$H_0 \psi_{nl} = E_{n+1}^-(l) \psi_{n+1},$$

Bu enerjilerin tam değerleri ile ilgilenmemiz 2.41-42'den sun救人 varız. h_+ da H_0 'nın her n^2 -liki değerine E_{n+1}^{∞} özdeğeri, n tanesi $E_{n+1}^+(l)$ enerji değeri her zaman altı tane $E_{n+1}^+(l)$ enerji değerini içerecektir.



Aynı şeyi h_- için de söyleyebiliriz.

Sonuç olarak, E_{10} altında He-atomunu üçgenel olasılık spektrumu elde ederiz.



- () En düşük enerji düzeyi E_{11}^+ ($l=0$) (H_+^{0+} uygulamak) 'dır, bu da $E_{11}^+ = -R + \frac{4}{3}(1+1)$ 'ye sağılanır.

$\chi_{1111} = 0$ olduguundan, antisimetrik H_-^{0+} alt ugramlar buna hasılık gelen enerji düzeyi göster. 2.23 ve 2.16 den beraberin enerji değerleri

$$\tilde{E}_{11}^- = -68.05 \text{ eV} \quad E_{11}^{0+} = -108.8 \text{ eV}$$

E_{11}^+ ($l=0$) 'in dengesel olasılık değeri (He'nin çifttirlerken enerjisi yede her iki elektronun sebebi 2'den 1'e geceli enerji) :

$$E_{11}^+(l=0) = -79.0 \text{ eV}$$

Bu da H_{∞}' 'in H_0 op.'ne karşı bul uyguladıktan elde edilen sonuçlardır. Enerji farklı

$$\tilde{E}_{10} - E_{11}^+(l=0) = -54.4 \text{ eV} + 79.0 \text{ eV} = 24.6 \text{ eV}$$

bu atomu taban durumundan elde edilen bir elektron yapısında içeri gereklili enerji. Bu iyonlaşma enerjisi ya da iyonlaşma pot. 'i olarak bilinir.

- $n=2$ için $H_+^{0s^2}$ de $E_{12}^+(l)$, $H_-^{0s^2}$ de $\tilde{E}_{12}^-(l)$ enerji değerleri vardır. Buna göre,

$$H_{\infty}'$$
'in örneğinde $\tilde{E}_{12}^{\prime\prime} = -R_{\infty}''(1 + \frac{1}{4}) = -68.0 \text{ eV}$

$$\tilde{H}_0 \quad " \quad " \quad \tilde{E}_{12}^{\prime\prime} = -R_{\infty}'' \cdot 1 - R'' \frac{1}{4} = -57.8 \text{ eV}$$

harcılık gelinde. $l=0$ için dengeleme olağan ölçüde değerler

$$\tilde{E}_{12}^-(l=0) - E_{11}^+(l=0) = 19.8 \text{ eV} \text{ ya da } \tilde{E}_{12}^-(l=0) = -59.2 \text{ eV}$$

- $E_{12}^+(l=1) - E_{11}^+(l=0) = 20.6 \text{ eV} \quad " \quad \tilde{E}_{12}^+(l=1) = -58.4 \text{ eV}$

$(l=1)$ için

$$E_{12}^+(l=1) = -58.1 \text{ eV}, \tilde{E}_{12}^-(l=1) = -57.8 \text{ eV}$$

Böylesse $n=2$ için, enerji değerleri H_{∞}' 'in halinde alınır. $n=3, 4, 5$ için uygulama daha da zor.

Enerji düzeyagramları İhi'ye göre:

(i) paraheksen : $\pi_{+}^{0s^2} \otimes \pi^{s=0}$ singlet

(ii) ortuheksen : $\pi_{-}^{0s^2} \otimes \pi^{s=1}$ triplet.

O (i)de $S=0$ olduğundan $J=L=l$. h_1 'in neden olduğu etkiyle $\pi_{+}^{0s^2}(l)$ 'yi yaratır. ancak H atomundaki üç yarım ile spin metresine hizlantı hizasına neden olur.

(ii) de $S=1$ $h_{1,-} \otimes \pi^{s=1}$ de

$$\begin{cases} \text{Free, } \otimes |S=1 S_3\rangle \\ \text{Bireysel } \end{cases}$$

özellikleri J^+ ve J_3 'ün öznitelikleri açıkları, buna göre

$$J_i = L_i \otimes I + I \otimes S_i$$

O toplam axisel mom.'ın öznitelikleri etkili $h_{1,-} \otimes \pi^{s=1}$ de yörükte axisel mom.'u ve spin'ü oluşturmakdır. l yörükte axisel mom.'ın $h_{1,-} \otimes \pi_{-}^{0s^2}(l)$ 'nin alt ugrası olur ve gösterelim: bu sıfat e nüfeli π_{Free} , tuzlular genișen bir ugrası. iştp. axisel mom.'ın olur öznitelikleri.

$$M^l \otimes \pi^{s=1} = \begin{cases} M^{j=l+1} \oplus M^{j=l} \oplus M^{j=l-1} & l \neq 0 \\ M^{j=1} & l = 0 \end{cases}$$

S öznitelikleri herhangi bir spin genel axisel mom. ugrası, gerçekte toplam axisel mom. ugrasının bir triplet'i dir. Bu nesnelerin h_1 spin perturbasyonu $D(l=1) \gg (l=2) \gg F(l=3)$ eni olurken, sprectlerine uygun.

X1.3. He Atomu için Seçim Kuraları ve Singlet-Triplet Karşımı:

He Atomu için dipol mom. op.'ü

$$\vec{d} = e(\vec{Q}_1 \otimes I + I \otimes \vec{Q}_2)$$

O da ve toplam axial mom. op.'i:

$$J_i = J_{1i} \otimes I + I \otimes J_{2i} = L_i \otimes I + S_i \otimes S_i$$

ile top. yönüle axial mom. op.'ine

$$L_i = L_{1i} \otimes I + I \otimes L_{2i}$$

göre \vec{d} bir vektör op.'dır.

$$[J_i, d_j] = i \epsilon_{ijk} d_k$$

$$[L_i, d_j] = i \epsilon_{ijk} d_k$$

Dipol isimdeki (V.3.7) seçim kuraları

$$J \rightarrow J-1, J, J+1 \quad 3.4$$

$$L \rightarrow L-1, L, L+1 \quad 3.5'$$

Fiziksel dönmeler top. axial mom.'ın özniteliklerini değiştiremeyecektir. $[H_1, L^z] = 0$ ve 3.5' iyi bir mühendislikteki seçimi.

iki elektronlu sist. için parite op. 'ü :

$$U_p = U_{p_1} \otimes U_{p_2}$$

$$U_p \psi_{\text{free}} = (-1)^L \gamma_0 \psi_{\text{free}}, \quad U_p \gamma_{\text{free}} = (-1)^L \gamma_1 \gamma_{\text{free}},$$

(iki iyonlaşma esiginin altında $L = l$)

\vec{d} has bir vektör elanführen,

$$U_p \vec{d} U_p^{-1} = -\vec{d}$$

$L \rightarrow L$ geçisi yasaklıdır: Bu da genel kuraldır.

$$L \rightarrow L \pm 1$$

(3.8) $[\vec{d}, P_{12}] = 0$ olmasından da bu sekilde kuralıdır.

Her $\gamma \in \pi_-^{os^2} \otimes \pi_+^{s^2}$ (3.8)'in sonucu
olarak

$$\vec{d}\gamma = \gamma' \in \pi_-^{os^2} \otimes \pi_+^{s^2}$$

$$\vec{d}\psi = \psi' \in \pi_+^{os^2} \otimes \pi_-^{s^2}$$

gilas. Bu nedenle

$$(\psi, \vec{d}\gamma) = 0 \quad 3.12.$$

Sönmə: Singlet ve triplet döşmələr arası gecis yoxdur. Ancak para- ve orto-heliumun enerji düzlegi arası da qonşu şidleddə gecisler gözlemlenmişdir; bu da π_1 nəsimi ilə "singlet-triplet" hərəkətinə sənəddir.

Toplam axial mom. öznimələri:

$$(i) \pi_+^{0\rightarrow 2} \otimes \pi^S=0 \text{ için}$$

$$\textcircled{O} \psi_{ne=\tau}^{TT_3} = \psi_{ne_{\tau}=T_3} \otimes \sum_{S_3' S_3''} |S_3'\rangle, |S_3''\rangle_2 \langle \frac{1}{2} S_3', \frac{1}{2} S_3'' |^{00}\rangle$$

$$(ii) \pi_-^{0\rightarrow 2} \otimes \pi^S=1 \text{ için}$$

$$\textcircled{O} \psi_{ne}^{TT_3} = \sum_{e_3 S_3} \gamma_{ne_{\tau}} \otimes \left(\sum_{S_3' S_3''} |\frac{1}{2} S_3'\rangle, |\frac{1}{2} S_3''\rangle_2 \langle \frac{1}{2} S_3', \frac{1}{2} S_3'' |^{11}\rangle \right) \\ \times \langle e_{\tau} | S_3 | TT_3 \rangle$$

Perturbasiyən fəsildə $\hat{n}_i = n_i + \pi_i$ 'nın öznimələri 1. mətrikciliyədə

$$\tilde{\psi}_{ne}^{TT_3} = \psi_{ne}^{TT_3} + \sum_{\substack{n'e' \\ n \neq n' \\ e' \neq e'}} \left[\frac{1}{E_{ne}^+ - E_{n'e'}^+} \tilde{\psi}_{ne}^{TT_3} \langle \psi_{ne'}^{TT_3} | \pi_1 | \psi_{ne}^{TT_3} \rangle \right]$$

$$+ \frac{1}{E_{ne}^+ - E_{n'e'}^+} \tilde{\psi}_{ne'}^{TT_3} \langle \tilde{\psi}_{ne'}^{TT_3} | \pi_1 | \psi_{ne}^{TT_3} \rangle$$

$$\tilde{\gamma}_{ne}^{TT_3} = \gamma_{ne}^{TT_3} + \sum_{\substack{n' \neq n \\ l' \neq l}} \left[\frac{1}{E_{ne} - E_{n'l'}} \gamma_{n'l'}^{TT_3} \langle \gamma_{n'l'}^{TT_3} | H_1 | \gamma_{ne}^{TT_3} \rangle \right. \\ \left. + \frac{1}{E_{ne} - E_{n'l'}} f_{n'l'}^{TT_3} \langle \psi_{n'l'}^{TT_3} | H_1 | \gamma_{ne}^{TT_3} \rangle \right]$$

Parite konserve $[H_1, \psi_p] = 0$

in some slinch $[H_1, \psi_p] = 0$ ve 2. f. 1.7. \Rightarrow gide

$\left\{ \begin{array}{l} \langle \psi_{n'l'}^{TT_3} | H_1 | \gamma_{ne}^{TT_3} \rangle = 0 \quad (-1)^{l'} = (-1)^l \text{ olmeder.} \\ \langle \gamma_{n'l'}^{TT_3} | H_1 | \gamma_{ne}^{TT_3} \rangle = 0 \end{array} \right.$

$\left. \begin{array}{l} \langle \psi_{n'l'}^{TT_3} | H_1 | \gamma_{ne}^{TT_3} \rangle = 0 \quad (-1)^{l'} \gamma_0 = (-1)^l \gamma_1 \end{array} \right.$

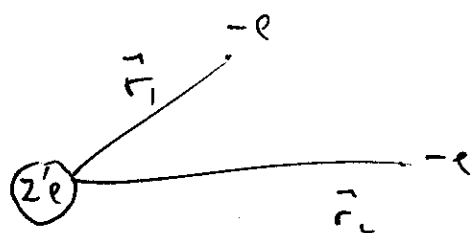
matris elementleri since γ_0 in hathanm, γ_1 in ${}^3(L)$,
teriminin 3 enzi diregine yanlmam ve ${}^1(L)$, 1. enzi direkt hathanm verir. (Bethe + Salpeter)

Singlet-triplet transm. mi?

He - Atomunun taban durum enerjisi

I. Varyasyonel Tüntem:

$$\psi(\vec{r}_1, \vec{r}_2) = \left(\frac{z'^3}{\pi a^3} \right)^{\frac{1}{2}} e^{-\frac{z' r_1}{a}} e^{-\frac{z' r_2}{a}}$$



$$a = \frac{\hbar^2}{me^2} \quad z': \text{ayarlanabilir param.}$$

$$\psi(\vec{r}_1, \vec{r}_2) = \psi_1 \psi_2 = \sqrt{\frac{z'^3}{\pi a^3}} e^{-\frac{z' r_1}{a}} \sqrt{\frac{z'^3}{\pi a^3}} e^{-\frac{z' r_2}{a}}$$

$$H_i = -\frac{\hbar^2}{2m} \nabla_i^2 - \frac{z' e^2}{r_i}; \quad \vec{p}_i = \vec{p}_{x_i} + \vec{p}_{y_i} + \vec{p}_{z_i}$$

$$\nabla_i \psi_i = -z'^2 E_H \psi_i, \quad E_H = \frac{mc^2}{2\hbar^2} = 13.53 \text{ eV}$$

$$\begin{aligned} E_0 &= \min \left\{ \int d^3r \left[-\frac{\hbar^2}{2m} (\nabla_1^2 + \nabla_2^2) - Ze^2 \left(\frac{1}{r_1} + \frac{1}{r_2} \right) + \frac{e^2}{r_{12}} \right] \psi \psi^* \right\} \\ &= \min \left\{ -2z'^2 E_H + (z' - z)e^2 \underbrace{\int d^3r \left(\frac{1}{r_1} + \frac{1}{r_2} \right) \psi \psi^*}_{\frac{5}{9} z' E_H} \right\} \\ &\quad + \underbrace{\int d^3r \frac{e^2}{r_{12}} \psi \psi^*}_{\frac{2}{9} \int d^3r \psi \psi^*} \end{aligned}$$

$$= \frac{4z' E_H}{e^2}$$

$$E_0 = \min \left\{ -2z'^2 + \frac{5}{4}z' + 5z'(z' - z) \right\} E_H$$

$$\frac{\partial E_0}{\partial z'} = 0 \Rightarrow z' = z - \frac{5}{16}$$

$$\Rightarrow E_0 = -2 \left(z - \frac{5}{16} \right)^2 E_H = \underbrace{-76.64}_{\text{en ırısome.}} \quad E_{\text{den.}} = -78.6$$

II. Pertürsasyon Yöntemi:

$$H = -\frac{\hbar^2}{2m} (\vec{p}_1^2 + \vec{p}_2^2) - Ze^-(\frac{1}{r_1} + \frac{1}{r_2}) + \left(\frac{e^2}{r_{12}} \right) \text{pert.}$$

$$\vec{E}_1^{(1)} = 54(\vec{r}_1, \vec{r}_2) H_0 + (\vec{r}_1, \vec{r}_2) d\vec{r}$$

$$\frac{1}{r_{12}} = \frac{1}{(2\pi)^3} \int \frac{4\pi}{k^2} e^{i\vec{k} \cdot (\vec{r}_1 - \vec{r}_2)} d\vec{k}$$

$$E_1^{(1)} = \left(\frac{Z'^3}{\pi a^3} \right)^2 e^2 \frac{4\pi}{(2\pi)^3} \int \frac{d\vec{k}}{k^2}$$

$$\times \int d\vec{r}_1 e^{-Z'r_1/a} e^{i\vec{k} \cdot \vec{r}_1} \int d\vec{r}_2 e^{-Z'r_2/a} e^{i\vec{k} \cdot \vec{r}_2}$$

$$= \left(\frac{Z'^3 e}{\pi a^3} \right)^2 \frac{1}{2\pi^2} \int \int 4\pi dk \int \dots$$

$$BSK = \frac{5}{9} \frac{e}{a} = 34 \text{ eV} \Rightarrow E = E_H + E_1^{(1)} = -108 + 34 = -74$$